

Mg-B-O

IX 1322

1892

KRUEGER

10. NOV. 1892. 10 AM. 6001. 1892, 11, 12.

$6\text{MgO} \cdot 8\text{B}_2\text{O}_3$; MgCl_2 ; r; (δH_{62})

Circ. 500



5

$MgO \cdot B_2O_3$

BP-2013-I

1945

$2MgO \cdot B_2O_3$

Xavis H. M., Knight
M.I.T.

$3MgO \cdot B_2O_3$

J. Amer. Ceram. Soc.,
1945, 28, 97-102.

(Tm)

R 2615

1949

MgO · B₂O₃; MgO · 3B₂O₃ (ΔH_f)

Korobov R. P.,

DOKL. Akad. CCCP, 1949, 68, 1061-1063

11

Cit, 1950, 41, 9198

IX - 1008

1955

2MgO · B₂O₃ (Tr)

Berdesinski W.,

Neues Jahrb. Mineralogie.

Monatsh., 1955, n^o 5, 106 - 111



6

Prak, 1958, n^o 8, 22231

ceres ph

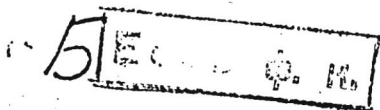
IX 2006

1957

Mg₂B₆O₁₁ · 15H₂O (Tec)

D'Ans. J., Behrendt K.H.,

Kali und Steinsalz, 1957, 2, N4,
121-137.



P.X., 1958, N5, 13770

$Mg(BD_2)_2$

B9P-2741-1x

1960

(Tm)

Рза-заге Т.Ф.,
Рустамов Т.Т.,

Тр. ин-та химии

A.H. Азерб. ССР, 1960, 18,

38-46.

1961

T_{tr}

Tm
Mg(BO₂)₂

+4

C.A - 1963
59.8

Interaction of metaborates of the second group metals. P. F. Rza-Zade, P. G. Rustamov, and E. A. Geidaroya. *Azerb. Khim. Zh.* 1961(5), 113-18. Binary systems of Mg(BO₂)₂ (I), Sr(BO₂)₂ (II), Cd(BO₂)₂ (III), Ba(BO₂)₂ (IV), and Ca(BO₂)₂ (V) were studied by thermal analysis. I-II: 2 compds. at 61 and 33 mole % I m. incongruently at 988 and 960°, resp.; eutectic point at 42.5 mole % I and 920°, polymorphic transformation at 27 mole % I and 1068°. I-III: 2 compds.: at 80 mole % III m. congruently at 920° and at 60 mole % III m. incongruently at 910°; eutectic point at 858° and 2.5 mole % I, polymorphic transformation at 77 mole % I and 1066°. I-IV: a compd. at 50 mole % IV m. incongruently at 1010°; eutectic point at 950° and ~70 mole % I; polymorphic transformation at 32 mole % IV and 1068°. V-III: 3 compds.: at 18.5 mole % V m. congruently at 860°, 35.5 mole % V m. incongruently at 868°, and 45.0 mole % V m. congruently at 950°; eutectic point at 836° and ~25 mole % V; polymorphic transformation at 75 mole % V and 998°. V-II forms a continuous series of solid solns. with a min. at 1062°. V-IV: 4 compds.: at 22.5 mole % V m. congruently at 1056°, at 42.0 mole % V m. incongruently at 1060°, at 53.5 mole % V m. 1080°, and 67.0 mole % V m. 1074°. II-IV: a phase be-

8177 cd

tween 38.5 and 83 mole % IV with an indistinct max. at 1088°; eutectic points at 38.5 mole % IV and 1044° and 83.5 mole % IV and 1072°. III-IV: 3 phases: at 30 mole % IV m. incongruently at 870°, at 82.0 mole % IV m. incongruently at 1000°, and at 58.5 mole % IV m. congruently at 1018°; eutectic points at 790° and ~17 mole % IV and 950° and ~70 mole % IV.

I. Dobrucka

~~1962~~ IX 1923

1962

LiBO_2 ; $\text{Li}_2(\text{BO}_2)_2$; $\text{Li}_3(\text{BO}_2)_3$;
 NaBO_2 ; $\text{Na}_2(\text{BO}_2)_2$; $\text{Na}_3(\text{BO}_2)_3$; $\text{Ba}(\text{BO}_2)_2$;
 $\text{Mg}(\text{BO}_2)_2$; (t.d.f.)

Buchler A.

Western States Sed. Combust. Inst. Paper
WSS/CJ 62-14, spp, 1962

Metal oxide-boron oxide system

H, Bo, J

P

CA, 1964, 60, N6, 6273d

Item 8 Strike

1964

Mg -
бораты

13 В22. Образование боратов магния. Годе Г. К.,
Апсит А. А. «Уч. зап. Латв. ун-т», 1964, 57, 11—15
 (рез. нем.)

Для выяснения процессов, протекающих при образовании кристаллич. боратов магния: гексабората $K_2O \cdot MgO \cdot 3B_2O_3 \cdot aq$ (I) и индерита $2MgO \cdot 3B_2O_3 \cdot aq$ (II) — соответствующие системы исследованы рефрактометрич. способом с применением метода изомолярных конц-ий. Коэф. преломления $n^{20}D$ определены по истечении нескольких суток, так как сразу после слияния р-ров $n^{20}D$ следуют закону аддитивности. Значения Δn получены как разность между теоретич. значениями $n^{20}D$, вычисленными согласно закону аддитивности, и экспериментально найденными. Из кривых Δn вытекает, что в системах с боратами типа $M_2O \cdot 15B_2O_3$ одна молекула бората реагирует с одной молекулой $MgCl_2$ (III) с образованием I (при $M=K$) или II (при $M=Na$). В случае тетраборатов в рефрактограммах видно отступление от отношения борат: III = 1 : 1. Рефрактограммы показывают, что 3 молекулы III реагируют с 2 молекулами буры с образованием II. В системе с тетраборатом K, наоборот, 2 молекулы III реагируют с 3 молекулами буры.

Х. 1965. 13

мекулами $K_2O \cdot 2B_2O_3$ (IV) с образованием I. При исследовании жидких фаз при синтезе I и II обнаружено, что II и I образуются в пределах pH 8,2—9,7 и 9,0—11,0 соответственно. Эти данные находятся в соответствии с ур-ниями, построенными на основании рефрактометрич. измерений: при р-ции буры с III в жидкой фазе остается избыток B_2O_3 , при р-ции IV с ионами Mg—избыток K_2O .

Ю. Муромский

1964

MgO · 2B₂O₃)

17 Б452. Система MgO — B₂O₃. Синтез и рентгеновское исследование соединения MgO · 2B₂O₃. Kuzel Hans-Jürgen. Zur Kenntnis des Systems MgO—B₂O₃: Synthese und röntgenographische Untersuchungen der Verbindung MgO · 2B₂O₃. «Neues Jahrb. Mineral. Monatsh.», 1964, № 12, 357—360 (нем.; рез. англ.)

Рентгеновскими методами исследования монокристалла (вращения, Вейссенберга, прецессии) исследованы кристаллы промежуточного соединения системы MgO · 2B₂O₃ (I). Установлено, что I обладает ромбич. элементарной ячейкой с параметрами $a = 13,73 \pm 0,03$; $b = 7,97 \pm 0,03$; $c = 8,62 \pm 0,03$ Å, которая относится к ф. гр. *Pbca*. Показатели преломления равны $n_{\alpha} = 1,542$; $n_{\beta} = 1,583$; $n_{\gamma} = 1,584$.

Пикнометрич. плотность I равна 2,53; $Z = 8$. Указывается, что соединения MgO · B₂O₃ в системе не существует. Этот состав ошибочно приписывался ранее (Торопов Н. А., Коновалов П. Ф., «Ж. физ. химии», 1940, 14, 1103) исследованному в настоящей работе I.

В. Дернов-Пегарев

X·1965·17

1965

MgO·2B₂O₃

8 Б366. О кристаллической структуре дибората магния. Абдуллаев Г. К., Мамедов Х. С. «Азэрб. кимја ж., Азерб. хим. ж.», 1965, № 4, 101—104 (рез. азерб.)

кристалл
степ.ра

Проведено рентгенографич. исследование $\text{MgO} \cdot 2\text{B}_2\text{O}_3 \cdot 9\text{H}_2\text{O}$ (I) ($\lambda \text{ Cu}-K_{\alpha}$; методы Лауэ, рентгенонометра, вращения и порошка). Параметры монокл. решетки: $a = 11,71$, $b = 13,08$, $c = 6,84$ Å, $\beta = 105^\circ$, ρ (эксп.) 1,7, $Z = 4$, ф. гр. $P2_1/a$. Структура решена методом двумерных синтезов Паттерсона и электронной плотности. Она состоит, в основном, из Mg-октаэдров, двух B-тетраэдров и двух B-треугольников. Отмечено сходство структуры I со структурой индерита, от к-рой первая отличается наличием дополнительного B-треугольника. Приведен расчет дебаеграмм I и индерита.

Н. Черницова

РЖХ1966

1965

B-Sopatn

Al Mg BO₄

Sopatn

The crystal structure of sinhalite. J. H. Fang and R. E. Newnham (Massachusetts Inst. of Technol., Cambridge). Mineral. Mag. 35(269), 196-9(1965)(Eng). The mineral has a d. of 3.4944 ± 0.0006 , the chem. compn. is $\text{AlMg}_{0.5}\text{BO}_4$ and it belongs to space group *Pnma*. Al and Mg are octahedrally coordinated and B occupies distorted tetrahedra. Al is assigned to inversion symmetry sites and Mg to mirror plane sites. Interat. distances are Al-O 1.90, Mg-O 2.10, and B-O 1.49 A.

Ernest E. Angino

C.A. 1965 · 63 · 2
1284 6

*Mg -
Бораты
магния*

1967

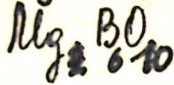
8 В17. Термическое разложение боратов магния.
Эюбова Н. А., Берг Л. Г., Рза-Заде П. Ф.
«Мэ'рүзэлэр. АзэрБССР Елмлэр Акад., Докл. АН
АзерБССР», 1967, 23, № 7, 24—30 (рез. азерб.)

Изучено термическое разложение $Mg[B_3O_3(OH)_5]$ (I), $Mg[B_4O_4(OH)_6] \cdot 6H_2O$ (II), $Mg[B_4O_4(OH)_6] \cdot 2H_2O$ (III) и $Mg[B_3O_3(OH)_4]_2 \cdot 3,5 H_2O$ (IV). Показано, что в результате термической дегидратации I—III образуются следующие промежуточные гидраты $Mg[B_3O_3(OH)_2]$ (120°), $Mg[B_4O_4(OH)_6] \cdot 2H_2O$ (100°), $Mg[B_4O_4(OH)_2]$ 380° и $Mg[B_3O_3(OH)_3]$ (140°), которые при более высоких т-рах переходят в безводные соли. Установлена природа эндо-термического эффекта IV при 620° , связанная с переходом одной кристаллической решетки в другую. Объяснена природа экзотермического эффекта, связанная с укрупнением кристаллов для II и переходом из аморфного состояния в кристаллическое для I и III.

Автореферат

X · 1968 · 8

Mg - бораты



1967
 11 В14. Химия и состав солей борных кислот. XVI.
 Гидраты бората магния типа 1 : 3; $MgB_6O_{10} \cdot xH_2O$. Lehmann H.—A., Rietz G. Zur Chemie und Konstitution borsaurer Salze. XVI. Über die Hydrate des Magnesium (1 : 3)—borates, $MgB_6O_{10} \cdot xH_2O$. «Z. anorgan. und allgem. Chem.», 1967, 350, № 3-4, 168—176 (нем.; рез. англ.)

Методом растворимости показано, что в системах $MgO—B_2O_3—H_2O$ и в системах $MgO—B_2O_3—H_2O—MgCl_2$ при отношении $B : Mg \geq 6$ существуют гидраты $MgB_6O_{10} \cdot nH_2O$, где $n = 7,5$ (I), 7 (II), 6 (III) и 5 (IV). К смеси 5 г MgO и 60 г H_3BO_3 (отношение $B : Mg = 7,9 : 1$) добавляют 400 мл H_2O и при комн. т-ре перемешивают. Через 24 часа реагенты р-ряются и сразу начинается кристаллизация. Перемешивание продолжают в течение 7—10 дней. Кристаллы I отделяют фильтро-

Х. 1968: 1

ванием, промывают H_2O , ацетоном, эфиром и сушат на воздухе. I можно также получить кипячением 4,03 г MgO и 49,47 г H_3BO_3 в 350 мл H_2O ($\text{B} : \text{Mg} = 8 : 1$) с последующим охлаждением р-ра. Для получения II перемешивают 5 г MgO и 60 г H_3BO_3 ($\text{B} : \text{Mg} = 1 : 7,9$) в 150 мл H_2O при 80° в течение 15—20 дней. II получают также кипячением 4,03 г MgO и 49,47 г H_3BO_3 в 150 мл H_2O . Выдерживанием смеси 2 г MgO , 18,6 г H_3BO_3 ($\text{B} : \text{Mg} = 6$) и 80 г MgCl_2 в 45 мл H_2O при 100° в течение 1 недели получают III. Смесь 100 г MgCl_2 , 2 г MgO и 18,6 г H_3BO_3 ($\text{B} : \text{Mg} = 6 : 1$) в 33 мл воды выдерживают в течение нескольких месяцев при 100° . Из полученного р-ра сначала выкристаллизовывается III, который постепенно переходит в IV. IV можно также получить выдерживанием 2 г MgO , 200 г MgCl_2 и

18,6 г H_3BO_3 при 120° в течение 6—8 недель. II гидратируется с образованием $\text{MgB}_6\text{O}_{10}$, который отличается от IV и в парах воды снова переходит в II. Сообщ. XV см. РЖХим, 1967, 9B20.

В. Р. Бердников

$B_2O_3 \cdot 2CaO \cdot B_2O_3 \cdot 2SiO_2 \cdot H_2O$ (скорость) 1963
 $Na_2B_4O_7 \cdot 3MgO \cdot B_2O_3$ (изнарение)

Изобретение Р.С., Прогноза И.И., № 00872

З/С. Киркел. куп. (Немецкая), 1909, 42,
№ 12, 21829-3 (посл.)

Немецкий союзный патент
Бесцветного типа бесконечного
изобретения

Г.М. © 01.09.09, № 6, 1355934

MgBO₂
MgB₂O₄

от 37814
дн. 17.4.91

1970

№ 8 Б649. Определение стабильности газообразных метаборатов магния. Гусаров А. В. «Теплофиз. высоких температур», 1970, 8, № 6, 1186—1191

В интервале т-р 1600—2000° К масс-спектроскопич. методом изучены продукты испарения системы MgO—B₂O₃ из вольфрамовой эвфузационной ячейки Кнудсена. Наряду с атомами магния и молекулами B₂O₃ в паре зарегистрировано присутствие молекул MgBO₂ и MgB₂O₄, теплоты образования ΔH_0° (обр.) к-рых равны соотв., —121±3 и —312±4 ккал/моль.

Автореферат

X. 1981.8

$\text{Cl}_2\text{g B(OH)}_4^+$ 1974

Byrne Robert H.

(Koop)

J. clear. Res 1974, 32(2)
119-27 (eng)

See Na B(OH)_4 ; I

1975

 $\chi_{MgO} \cdot \chi_{B_2O_3}$

Tm

1 Б954. Фазовые равновесия в системе $MgO-B_2O_3$.
 Mutchler T., Timucin M. Phase equilibria in the system $MgO-B_2O_3$. «J. Amer. Ceram. Soc.», 1975, 58, № 5—6, 196—197 (англ.)

С помощью ДТА и рентгенографии исследовали фазовые равновесия в системе $MgO-B_2O_3$. Исходными в-вами служили H_3BO_3 и MgO . Образцы нагревали при 400° в течение 48 час, затем прессовали и прокаливали в течение нескольких дней. Содержание MgO в образцах определяли атомно-абсорбц., B_2O_3 — титриметрич. методом. Представлена диаграмма состояния системы до 1400° . Отмечено образование трех соединений: $MgO \cdot 2B_2O_3$, $2MgO \cdot B_2O_3$ и $3MgO \cdot B_2O_3$. Первые два плавятся конгруэнтно, третье — никонгруэнто при 995, 1312 и 1410° соотв. Эвтектич. точка соответствует т. пл. 1333 и 71% MgO . Не подтвердили лит. данные о наличии в системе соединения $MgO \cdot B_2O_3$.

Л. Г. Титов

x 1976 n 1

Mg₃B₂O₆ Отмінск 9467 { 1979

Mg₂B₂O₅ 15 Б867. Термохимия системы MgO—B₂O₃. Hauck D., Müller Franz. Thermochemie des Systems MgO—B₂O₃. «Z. phys. Chem.» (BRD), 1979, 118, № 1, 79—87
(нем.; рез. англ.)

Из измерений э. д. с. гальванич. ячейки с тв. F⁻-ионным электролитом Pt, O₂ (~1 бар)/MgO—B₂O₃||MgF₂||MgO|Pt, O₂ (~1 бар) при 1173 К определены хим. Пт MgO в квазибинарной системе MgO—B₂O₃. Из изотермич. зависимости хим. Пт MgO от конц-ии определены составы термодинамически стабильных соединений Mg₃B₂O₆, Mg₂B₂O₅ и MgB₄O₇ (I—III соотв.) и найдены их свободные энергии образования из тв. MgO и жидк. B₂O₃, равные —177,2±9, —130,7±7,5 и

16f

Х 1980 N 15

1979-17-56324

$-73,2 \pm 3$ кДж/моль соотв. Из калориметрич. определений теплот р-рения в расплаве $3\text{Na}_2\text{O} \cdot 4\text{MoO}_3$ при 973 ± 2 К определены величины $\Delta H(\text{обр.})$ I—III из тв. MgO и жидк. B_2O_3 соотв. $-149,9 \pm 3$, $-142,5 \pm 3$ и $-105,1 \pm 5$ кДж/моль. При допущении т-рной независимости $\Delta H(\text{обр.})$ и $\Delta S(\text{обр.})$ боратов и с учетом фазовой диаграммы системы $\text{MgO}-\text{B}_2\text{O}_3$ найдены т-рные зависимости $\Delta G(\text{обр.})$ I—III из тв. MgO и жидк. B_2O_3 для интервала 900—13000 К: $\Delta G_I = -147,0 - 29,34 \cdot 10^{-3} T$, $\Delta G^{\circ} II = -139,6 + 3,93 \cdot 10^{-3} T$ и $\Delta G^{\circ} III = -110,3 + 34,19 \cdot 10^{-3} T$ кДж/моль. Уточнены границы фазовых областей системы $\text{MgO}-\text{B}_2\text{O}_3$.

А. Б. Кисилевский

1979

$Mg_3B_2O_6$
 $Mg_2B_2O_5$
 MgB_4O_7

(46f)

92: 18 Thermochemistry of the magnesium oxide-boron oxide system. Hauck, D.; Mueller, Franz (Inst. Gesteinshuettenkd., Tech. Hochsch. Aachen, Aachen, Fed. Rep. Ger.). *Z. Phys. Chem. (Wiesbaden)* 1979, 118(1), 79-87 (Ger). In the quasibinary system MgO - B_2O_3 , the chem. potential of MgO (referred to solid MgO) was measured at 1173 K as a function of compn. by the emf. technique with cells with MgF_2 as F-conducting electrolyte. From the isothermal concn. dependence of the chem. potential, the compn. of the thermodynamically stable compds. was derived and also the free enthalpy of formation ΔG^ρ of these compds. (referred to solid MgO and liq. B_2O_3) was calcd. $\Delta G^\rho(Mg_3B_2O_6) = 177.2 \pm 9$ kJ.mol⁻¹, $\Delta G^\rho(Mg_2B_2O_5) = -130.7 \pm 7.5$ kJ.mol⁻¹, and $\Delta G^\rho(MgB_4O_7) = -73.2 \pm 3$ kJ.mol⁻¹. The enthalpy of formation, ΔH^ρ of Mg

CA 1980 22 n22 186681a

borates (referred to solid MgO and liq. B₂O₃) was detd. by oxide melt soln. calorimetry in 3Na₂O·4MgO·3B₂O₃ m. 973 ± 2 K, ΔH_f^θ (Mg₃B₂O₆) = -149.9 ± 3 kJ.mol⁻¹, ΔH_f^θ (Mg₂B₂O₅) = -142.5 ± 3 kJ.mol⁻¹, and ΔH_f^θ (MgB₄O₇) = -105.1 ± 5 kJ.mol⁻¹. On the assumption that the enthalpy and entropy of formation of Mg borates are approx. independent of temp. at 900-1300 K and with respect to the results as given in the temp.-concn.-diagram

the MgO-B₂O₃ system, the temp. dependence of the free enthalpy of formation of the Mg borates (referred to solid MgO and liq. B₂O₃) was estd. from the above data: ΔG_f^θ (Mg₃B₂O₆)/[kJ.mol⁻¹] = -147.0 - 29.34.10³(T/[K]), ΔG_f^θ (Mg₂B₂O₅)/[kJ.mol⁻¹] = -139.6 + 3.93.10³(T/[K]), and ΔG_f^θ (MgB₄O₇)/[kJ.mol⁻¹] = -110.3 + 34.19.10³(T/[K]).

1981

3MgO·B₂O₃

2MgO·B₂O₃

MgO·B₂O₃

и гр.

расчет
термических
констант

7 Б803. Расчет термических констант боратов металлов. Коган Б. С., Керхер Т. Е. «Химия кислород. соедин. бора. 5-е Всес. совещ. Тез. докл.» Рига, 1981, 75—76

Для боратов магния 3MgO·B₂O₃, 2MgO·B₂O₃, MgO·B₂O₃, 2MgO·3B₂O₃ и MgO·2B₂O₃ по аддитивной схеме рассчитаны станд. энтропии 145,5; 118,5; 91,5; 274,4 и 156,0 Дж/(моль·К) и станд. теплоемкости соотв. 173,3; 135,5; 97,7; 255,4 и 157,6 Дж/(моль·К). Методом «изоатом» в предположении равенства изменения энталпии при образовании соотв. боратов кальция и магния из окислов, рассчитаны станд. энталпии образования указанных боратов соотв.: —3331,3; —2670,0; —1990; —5328,2 и —3329,3 кДж/моль.

А. С. Гузей

X. 1982, 19, № 7.

$Mg_2B_4O_7$

1981

$Mg_2B_2O_5$

$Mg_3(BO_3)_2$

фазовое
равновесие

Tz

X. 21. 1981

21 Б861. Минеральные составы $MgO \cdot B_2O_3$ при высоком давлении. Nishi yama Goro, Hayashi Hiroshi «Нагоя когё гидзюцу сикэнсё хококу, Repts Govt Ind. Res. Inst., Nagoya», 1981, 30, № 3, 79—83 (япон.; рез. англ.)

С помощью тетраэдрич. аппарата высокого давл. изучено фазовое равновесие в системе $MgO - B_2O_3$ при $P \approx 2,5 - 7,0 \pm 0,1$ ГПа и $T \approx 200 - 1450 \pm 10^\circ$. Методом рентгеноструктурного анализа установлено, что при $P \approx 4,0$ ГПа и $T \approx 400^\circ$ образуется $Mg_2B_4O_7$, при $P \approx 2,5$ ГПа и $T \approx 800^\circ$ — $Mg_3(BO_3)_2$ и $Mg_2B_2O_5$ (монокл.), при $P \approx 4,0$ ГПа и $T \approx 1000^\circ$ $Mg_3(BO_3)_2$ начинает плавиться с образованием $Mg_2B_2O_5$ (трикл.), при $P \approx 7,0$ ГПа и $T \approx 800^\circ$ образуется $Mg_3(BO_3)_2$, $Mg_2B_2O_5$ (монокл.) и новая фаза I, при $P \approx 5,7$ ГПа и $T \approx 1200^\circ$ — новая фаза II. Предложена приблизительная $P-T$ -диаграмма для системы $MgO - B_2O_3$. Проведен сравнительный анализ фазовых равновесий в системах $MgO - B_2O_3$ и $CaO - B_2O_3$.

Резюме

MgB₄O₇

1981

*Крист.
Структура*

(+4)

10 Б367. Об особенностях кислородной координации двухвалентных катионов в безводных тетраборатах. Руманова И. М., Генкина Е. А. «Кристаллохимия минералов». Л., 1981, 91—95

Выявлена нестандартная кислородная конфигурация, вокруг двухвалентных катионов средних размеров в тетраборатах с общей ф-лой $Me^{2+}B_4O_7$ ($Me^{2+} = Mg, Fe, Zn, Mp, Cd$). Подробно рассмотрены межатомные расстояния $Me^{2+}—O_n$ в пределах 3,2 Å и их отклонения от средних расстояний для IV, V, VI кислородных координаций. На основании анализа отклонений ($\Delta r_{N, n}$) межатомных расстояний $Me^{2+}—O_n$ ($n=4, 5, 6$) от соотв-щих средних значений $(Me^{2+}—O_n)_N$ с учетом оценки валентных вкладов каждого из атомов O сделан выбор координац. полизэдов для Me^{2+} в тетраборатах. Катионы Fe, Zn, Mp и Cd оказались в кислородных тетраэдрах, Mg — внутри тригон. бипирамиды. Предложен колич. критерий выбора координац. чисел.

Автореферат

X, 1982, 19, N10.

1981
07/7. 11662

$3\text{MgO}\cdot\text{B}_2\text{O}_3$

95: 71293v Metastable modification of the alkoxy-derived magnesium borate $3\text{MgO}\cdot\text{B}_2\text{O}_3$. Yamaguchi, Osamu; Kamata, Muneaki; Shimizu, Kiyoshi (Dep. Appl. Chem., Doshisha Univ., Kyoto, Japan 602). *J. Inorg. Nucl. Chem.* 1981, 43(5), 1079-80 (Eng). Amorphous $3\text{MgO}\cdot\text{B}_2\text{O}_3$, prep'd. by refluxing $\text{B}(\text{OEt})_3$ and $\text{Mg}(\text{OMe})_2$ in MeOH, followed by slow hydrolysis, undergoes 2 exothermic processes when heated. At $620\text{--}80^\circ$ a transformation to a metastable phase occurs, and at $760\text{--}850^\circ$ the metastable phase transforms into an orthorhombic one. Its IR spectrum is attributed to the anion structure.

T_{t1}



CA 1981, 95, N8

1981

3MgO·B₂O₃

19 Б1037. Метастабильная модификация соединения $3\text{MgO}\cdot\text{B}_2\text{O}_3$, полученная через алкоголяты магния и бора. Yamaguchi Osamu, Kamata Mineaki, Shimizu Kiyooshi. Metastable modification of alkoxy-derived $3\text{MgO}\cdot\text{B}_2\text{O}_3$. «J. Inorg. and Nucl. Chem.», 1981, 43, № 5, 1079—1080 (англ.)

НГ

Методами ДТА и высокот-рного рентгенофазового анализа, ТГ и ИК-спектроскопии изучен продукт гидролиза смеси метилата магния и этилата бора, а также процесс образования из него соединения $3\text{MgO}\cdot\text{B}_2\text{O}_3$. Установлено существование новой метастабильной модификации соединения $3\text{MgO}\cdot\text{B}_2\text{O}_3$; приведена его дифрактограмма. Приведены основные полосы поглощения ИК-спектров метастабильного и стабильного соединений в интервале частот 400—1400 см^{-1} . При нагревании продукта гидролиза исходных смесей наблюдается два экзотермич. эффекта при 620—680° и 760—850°. Первый эффект связан с р-цией образования новой метастабиль-

ной фазы $3\text{MgO}\cdot\text{B}_2\text{O}_3$, а после второго образуется известная стабильная ромбич. фаза. Б. Г. Кахран

Х. 1981, N 19

$Mg_2 \cdot B_2O_5 \cdot H_2O$

1983

6 Б3171. Термические превращения природных гек-
саборатов магния. Сайко И. Г., Кононова Г. И., Тка-
чев К. В., Савиных Ю. Г., Перебейнос А. А. «Тр. Урал.
н.-и. хим. ин-та», 1983, № 56, 52—57

Изучен характер термич. превращений природных
гидроксоборатов магния — преображенскита $Mg_3[B_{11}O_{15}-(OH)_2]$, аклиборита $(KMg_2B_{11}O(OH)_{14} \times 2H_2O)$ и ашарита
 $(Mg_2 \cdot B_2O_5 \cdot H_2O)$ с использованием методов ДТА, ИКС,
РФА и тензиметрии. Установлены зависимости $P_{H_2O}(T)$
для вышеназванных минералов; установлено наличие
бора в газ. фазе, связанное с протеканием процессов
в конденсированной фазе, характерных для каждого
минерала.

Резюме

X. 1986, 19, N 6

Al₂Si₂BeO₅

1984

Селищев Ю. В.

термия си-фа,
Д+Н;

Термодинамический анализ
условий образования
бороалюминиатов и боратов
кальция и магния в
негорячих процессах.

Автореферат диссертации на со-
искание ученой степени к.х.н.,
Москва, 1984.

$Mg_3(BO_3)_2$

1984

Семёнов И.О.В.

террас. сб-фа,
SfH;

Терригенический агент
условий обработки
боросиликатов в борат
кальций и магний в звиго
зеленых процессах.

Алмазография
на сократии Углерод
Москва, 1984

диссертация
степени к. х.-н.,

Mg₂B₆O₆

[OM · 21695]

1984

Mg₂B₂O₅

MgB₄O₇

Гюнод Н.Д., Сунгалинский
Ю.С.,

Ученые записки, 1984,
53, Вып. 9, 1425–1462.

SHgoli-

$Mg(BO_2)_2(K)$ / 011. 26986 / 1986

Касемов Б.К., Абиссеев Р.Н.,
и др.,

Дж, оценки Вестник АН Казахской ССР,
1986, № 3, 33-39.

Mg(BD₂)_(K) [Om. 23458] 1986

Қасемов Б.К., Абисеев Д.Н.

Δf H, Вестн. АН Каз. ССР,
оценки 1986, № 3, 33-39.

Mg (β D₂)k [Om. 23458] 1986

Касемов Б.К., Абсатеев А.Н.

4 гр.,

Дж,
Вестн. АН Каз. ССР,
Ордена
1986, № 3, 33-39.

$3MgO \cdot B_2O_3$

1988

"⁴ gp. Asano Mitsuru,
Kou Tomoyuki.

05H

Kemo gairaku zashu
Награда Кэйкогэ узо-
Bell. Inst. Atom. Ener-
gy. Kyoto Univ. - 1988. 74. C.
56. /ca. $3BeO \cdot B_2O_3$ 4 gp.; I)

2MgO·3B₂O₃·15H₂O

1988

7 Б3013. Определение теплоемкости курнаковита
2MgO·3B₂O₃·15H₂O от 65 до 310 К и вычисление его
термодинамических свойств / [Huang Shu-Feng],
Zhang Qiang, Li Ya-Rong, Chen Pei-Heng // Хуасюэ
сюэбао = Acta chim. sin.:— 1988.— 46, № 10.— С. 967—
971.— Кит.; рез. англ.

Г;
Теплоемкость C_p курнаковита $2\text{MgO}\cdot3\text{B}_2\text{O}_3\cdot15\text{H}_2\text{O}$ измерена методом адиабатич. калориметрии в интервале T -р 65—310 К. Эксперим. данные аппроксимированы ур-нием $C_p(\text{Дж}/\text{К}\cdot\text{моль}) = -69,6577 + 3,6266 \cdot T - 1,7008 \cdot 10^{-3} T^2 - 7,522 \cdot 10^{-6} T^3 + 1,5 \cdot 10^{-8} T^4$. Экстраполяция C_p к 0 К проведена по сумме ф-ций Дебая и Эйнштейна $C_p(\text{Дж}/\text{К}\cdot\text{моль}) = 4,184 [D(65/T) + 2E(113/T) + 4E(200/T) + 10E(319/T) + 18E(805/T) + 9E(900/T) + 20E(1450/T)]$, ошибка экстраполяции 0,4%. Рекомендованы $C_{p,298,15} = 779,5 \text{ Дж}/\text{К}\cdot\text{моль}$, $S_{298,15} = 723,4 \text{ Дж}/\text{К}\cdot\text{моль}$, $H_{298,15} - H_0 = 118,2 \text{ кДж}/\text{моль}$ и $-(G_T - G_0^\circ)/T = 327 \text{ Дж}/\text{моль}\cdot\text{К}$.

Л. А. Резницкий

Х. 1989, № 7

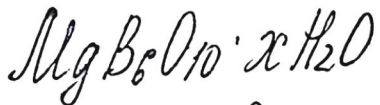
$MgB_4O_7 \cdot 9H_2O$

1988

111: 13176x Study of the ternary system magnesium tetraborate (MgB_4O_7)-magnesium sulfate-water at 25°C. Song, Pengsheng; Du, Xianhui; Sun, Bai (Qinghai Inst. Salt Lakes, Acad. Sin., Xining, Peop. Rep. China). *Kexue Tongbao (Foreign Lang. Ed.)* 1988, 33(23), 1971-3 (Eng). The title system was studied by d., viscosity, elec. cond. and refractive index measurements. The compn. of the soln. at the eutonic point is MgB_4O_7 1.02 and $MgSO_4$ 26.54 wt.%. The free energy of formation of $MgB_4O_7 \cdot 9H_2O$ was calcd. from the soly. data.

(S, f)

C.A. 1989, III, N2



1989

Fao Shiyang, Xiao Fao-
yi And Xia Shuping,

(SH) Thermodynamics Of Phase
Transition Of $\text{MgD} \cdot 3\text{BaB}_3 \cdot$

H_2O



C72

ICCTC, Beijing. China

August 25/28, 1989, C72.

$MgO \cdot 3B_2O_3 \cdot nH_2O$; $2MgO \cdot 3B_2O_3$ 1990

($n=5, 6, 7, 7.5$)

6 Б3189. Химия боратов в рассоле соляного озера.
XIV. Фазовый переход и кинетика дегидратации в
процессе нагрева $MgO \cdot 3B_2O_3 \cdot nH_2O$. Chemistry of bo-
rate in salt lake brine. XIV. Phase transition and kine-
tics of dehydration during heating of $MgO \cdot 3B_2O_3 \cdot nH_2O$:
[Pap.] Int. Conf., Chem. Thermodyn. and Calorimetry»,
Beijing, 25—28 Aug., 1989.— / Gao S., Xiao G., Xia S.
// Thermochim. acta.— 1990.— 169.— С. 311—322.—
Англ.

В диапазоне т-р 20—1100° С методами ДТА, ТГА,
ДСК (скорости нагрева 10°/мин), РФА, ИКспектроско-
пии и химанализа исследовано фазовое поведение и
кинетика дегидратации или рекристаллизации синтетич.
соединений $MgO \cdot 3B_2O_3 \cdot nH_2O$ ($n=5, 6, 7, 7.5$). В об-
разце с $n=5$ идет одно превращение при 287° С с
 $\Delta_{trs}H=389,30$ кДж/моль, в образце с $n=6$ имеется
также один пик при 224° С с $\Delta_{trs}H=428,65$ кДж/моль.

14/11/2

X.1991, N 6

при $n=7$ обнаружены пики при 122 и 239°C . При $n=7,5$ на кривой ДТА один пик при 214°C , на кривой ТГА два пика при 192 и 208°C и на кривой ДСК один пик при 188°C с $\Delta_{trs}H=525,46$ кДж/моль. При нагреве до 800°C в процессе рекристаллизации образуется крист. фаза $\underline{2\text{MgO}\cdot 3\text{B}_2\text{O}_3}$ и аморф. фаза B_2O_3 . Предложена схема р-ций дегидратации и даны результаты компьютерного расчета их кинетич. параметров.

В. А. Ступников



$Mg_2O \cdot B_2O_3$ 1990

$MgO \cdot B_2O_3$ Vedishcheva N. Ii.,
Shakhmatkin B. F.
et al.

Mitteleck.

maßnahm. J. Therm. Anal. 1990. 36,
N 6. C. 2055-2059.

(cell. $\bullet Li_2O \cdot B_2O_3; \Gamma$)

1994

F: MgB₂C₂

P: 1

1Б251. MgB[2]C[2], новое графитоподобное отражающее соединение.
MgB[2]C[2], a new graphite-related refractory compound / Worle M., Nesper R. // J. Alloys and Compounds. - 1994. - 216, N 1. - С. 75-83. Англ.

Прозрачные темно-красные с серебристым металлическим блеском и формой усеченных гексагональных пирамид, кристаллы MgB[2]C[2] (I) получены из чистых элементов (3:1:1) в запаянных ниобиевых ампулах при 1770К в течение 10 ч. Многие кристаллы сдвойникованы и дают дифракционную картину с псевдогексагональной картиной (а 2184,4, с 745,9 пм). Проведен РСТА ('лямбда'Mo, 836 рассмотренных отражений R[int] 0,025, 25 °C). Параметры ромбич. решетки: а 10,922, b 9,461, с 7,459 Å, V 770,8 Å³, Z 16, 'рo'(выч.) 2,411, 'рo'(изм.) 2,360, ф. гр. Стса. Структура I содержит графитоподобные слегка гофрированные слои [BC]{-}['БЕСКОЕЧ'2]. Каждый атом В и С координирован 5 атомами иного сорта, 3 в том же слое и двумя в соседних (B-C в сетке 156,2-159,5

X. 1996, N 1

лм). Каждый атом Mg координирован 6B и 6C, образующими слегка искаженную гексагональную призму. Атомы Mg распределены не равномерно и образуют кластеры по 4 атома, которые окружены в свою очередь не занятymi гексагональными призматическими пустотами. В них могут внедряться атомы и они служат для перемещения атомов. Занята лишь половина этих пустот, образованных слоями BC. В соседних слоях кластеры смещаются, так что остаются не заполненные B[6]C[6] призмы, проходящие через всю структуру. Атомы Mg отталкиваются и смещены от центра группы. При высокой температуре I может быть хорошим ионным проводником.. Кристаллическая структура.

F: Mg₂B₂O₅

1995

P: 1

9Б227. Триклинный Mg[2]B[2]O[5]. Triclinic Mg[2]B[2]O[5] / Guo G.-C., Cheng W.-D., Chen J.-T., Huang J.-S., Zhang Q.-E. // Acta crystallogr. C. - 1995. - 51, N 3. - С. 351-352. - Англ.

Твердофазной реакцией H[3]BO[3] и Mg(OH)[2]CO[3] при 1473К выращены белые, прямоугольные монокристаллы Mg[2]B[2]O[5] и выполнены их РСТА. Кристаллы (M[r] 150,23) триклиновые, ф. гр. P1; а 6,149, b 9,221, с 3,121 Å, 'альфа' 90,29, 'бета' 92,23, 'гамма' 104,30°; Z 2; 'rho' (выч.) 2,91; R 0,030 для 1944 наблюдаемых отражений [$I'>=3'\sigma(I)$]. Структура основана на тетрамерах [Mg[r]O[18]], состоящих из 4 октаэдров, соединенных тремя общими ребрами. Расстояние Mg...Mg в тетramerе 3,175 и 3,131 Å. Обобщением 4 ребер O-O тетрамеры соединены в цепи, простирающиеся вдоль (001). Цепи удерживаются вместе атомами B, которые образуют двойные треугольные группы B[2]O[5]. Атомы O в группах B[2]O[5] не строго компланарны: дизадрический угол между двумя наклоненными тригональными плоскими группировками BO[3] составляет 9,84°.. Кристаллическая структура.

Х. 1996, № 9

1995

Mg₂B₂O₅ 5Б230. Моноклинный $Mg_2B_2O_5$. Monoclinic
 $Mg_2B_2O_5$ / Guo G.-C., Cheng W.-D., Chen J.-T.,
Zhuang H.-H., Huang J.-S., Zhang Q.-E. // Acta crystallogr.
С.—1995.—51, № 12.—С. 2469—2471.—Англ.

Бесцветные кристаллы $Mg_2B_2O_5$ (I) получены из H_3BO_3 и $Mg_2(OH)_2CO_3$ нагреванием при 773К/24 ч., 1223К/24 ч., 1473К/48 ч. с закалкой до 1093К, медленным охлаждением до 1053К со скоростью $0,56\text{ ч}^{-1}$ и опять закалкой. Проведен РСТА (293К, λMo , 642 рассмотренных отражения, $R\ 0,049$). Параметры моноклинной решетки: $a\ 9,197$, $b\ 3,1228$, $c\ 12,303\text{ \AA}$, $\beta\ 104,26^\circ$, $V\ 342,5\text{ \AA}^3$, $Z\ 4$, $\rho(\text{выч.})\ 2,91$, ф. гр. $P2_1/c$. Структура образована из тетрамерных цепей октаэдров, соединенных ребрами в трансположении. Цепи соединены B_2O_5 -группами из двух треугольников. Моноклинный и триклининый I гетероморфны.

В I $Mg...Mg$ в $Mg_4O_{18}3,148$ и $3,152\text{ \AA}$. Все атомы O в B_2O_5 копланарны.

Н. Л. Смирнова

X 1997, N 5

1995

F: MgB(OH)4+(aq)

P: 1

12Б3155. Изучение термодинамики водных боратных растворов II.
Система H[3]BO[3]-LiB(OH)[4]-LiCl-MgCl[2] / Song P.-Sh., Wang D. B.,
Yang J.-Zh. // Huaxue xuebao = Acta chim. sin. - 1995. - 53, N 10. - C.
985-991. - Кит.; рез. англ.

По результатам измерений э. д. с. электрохим. ячеек рассчитаны станд. константы ионной ассоциации для ионной пары (K[T]) $[MgB(OH)[4]]^{\{+}\}$ в водн. р-рах H[3]BO[3]-LiB(OH)[4]-LiCl-MgCl[2] различного состава при т-рах от 278,15 до 318,15К. Определены термодинамич. параметры процесса ионной ассоциации $Mg^{2+} + B(OH)[4]^- \rightleftharpoons [MgB(OH)[4]]^{\{+}}$. Предложено ур-ние т-рной зависимости $pK[T] = A[1] + A[2]/T + A[3]*T$. ЭДС, Kc, DG.

X.1996, N/2

$Mg(BO_2)_2$

Jun

?

1997

$(\Delta H_{sol.},$
 $\Delta H_f)$

127: 86813t Thermochemistry of hydrated magnesium borates.
Jun, Li; Shiyang, Gao; Shuping, Xia; Bing, Li; Rongzu, Hu (Xi'an Branch, Academia Sinica, Inst. Salt Lakes, Xi'an, Peop. Rep. China). *J. Chem. Thermodyn.* 1997, 29(4), 491–497 (Eng), Academic. The enthalpies of soln. of eight hydrated magnesium borates in approx. 1 mol·dm⁻³ aq. hydrochloric acid were detd. From a combination of these results with measured enthalpies of soln. of H_3BO_3 in HCl(aq) and of MgO in aq. (hydrochloric acid + boric acid), together with the std. molar enthalpies of formation of MgO(s); H_3BO_3 (s); and $H_2O(l)$, the std. molar enthalpies of formation of eight hydrated magnesium borates were obtained.

C.A. 1997, 127, NG

Mg₂B₆O₁₀ · n H₂O

1997

24Б371. Термохимия гидратированных боратов магния. Thermochemistry of hydrated magnesium borates / Li Jun, Gao Shiyang, Xia Shuping, Li Bing, Hu Rongzu // J. Chem. Thermodyn.— 1997.— 29, № 4.— С. 491–497.— Англ.

С использованием низкот-рного микрокалориметра Кальве и прецизионной калориметрич. системы LKB 8700 измерены энталпии р-рения восьми гидратированных боратов магния в води. р-ре соляной к-ты. Из комбинации этих результатов с измерениями энталпий р-рения Н₃ВО₃ в води. р-ре HCl и MgO в води. р-рах смесей соляной и борной к-т, вместе с энталпиями образования MgO (s), Н₃ВО₃ (s) и H₂O (l) определены станд. молярные энталпии образования исследованных гидратированных боратов магния. Получены следующие значения $\Delta_f H^\circ$ (в кДж/моль)

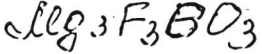
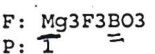
(ΔH_f)

X. 1997, N 24

при т-ре 298,15
 $MgB_6O_{10\cdot7}H_2O$
-6735,29±4,85;
-9631,90±4,92;
-9626,48±4,92;
 $MgB_4O_{7\cdot9}H_2O$
2842,68±1,68.

K: $MgB_6O_{10\cdot6}H_2O$ -6294,70±4,85;
-6588,78±4,85; $MgB_6O_{10\cdot7,5}H_2O$
 $Mg_2B_6O_{11\cdot15}H_2O$ (индерит)
 $Mg_2B_6O_{11\cdot15}H_2O$ (курнаковит)
 $Mg_2B_6O_{11\cdot17}H_2O$ -10272,06±4,93;
-5939,21±3,25 и $MgB_2O_4\cdot3H_2O$ -

Б. Ф. Байбуз



2000

549.73 02.16-19Б2.25. овые данные по кристаллохимии флюоборита по данным методов уточнения кристаллической структуры, масс-спектрометрии вторичных ионов и электронного микрозондирования.
New data on the crystal-chemistry of fluoborite by means of SREF, SIMS, and EMP analysis / Camara Fernando; Ottolini Luisa // Amer. Miner. - 2000. - 85, N 1. - C. 103-107. - Англ.

При ранних расшифровках кристаллической структуре флюоборита Mg[3]F[3](BO не было определено место атомов . Авторам удалось локализовать -связи в О-доминантном флюоборите из Бетийских Кордильер (Ю.-В: Испания). Представ анализы, выполненные электроздондом (EMP) и масс-спектрометрией вторичных (SIMS) легких элементов (H, B, F); описана специальная методика получения точных, высококачественных количественных данных. EMP, SIMS и кристаллоструктурная расшифровка (SREF) дали хорошо согласующиеся результаты Представлено также линейное уравнение для расчета содержания F прямо по параметрам ячейки. Библ. 23.

Структура